

## CuFe<sub>2</sub>O<sub>4</sub>을 이용한 메탄부분산화 특성 연구

우성웅\*\*\* · 강 용\*† · 강경수\*\* · 김창희\*\* · 김철성\*\*\* · 박주식\*\*

\*충남대학교 화학공학과  
305-764 대전시 유성구 궁동 220  
\*\*한국에너지기술연구원  
305-343 대전시 유성구 궁동 71-2  
\*\*\*국민대학교 나노전자물리학과  
136-702 서울시 성북구 정릉동 861-1  
(2008년 10월 21일 접수, 2008년 12월 1일 채택)

### A Study of Methane Partial Oxidation Characteristics on CuFe<sub>2</sub>O<sub>4</sub>

Sung Woung Woo\*\*\*, Yong Kang\*†, Kyoung Soo Kang\*\*, Chang Hee Kim\*\*, Chul Sung Kim\*\*\* and Chu Sik Park\*\*

\*Department of Chemical Engineering, Chungnam National University, 220 Gung-dong, Yuseong-gu, Daejeon 305-764, Korea  
\*\*Hydrogen Energy Research Center, Korea Institute of Energy Research, 71-2 Jang-dong, Yuseong-gu, Daejeon 305-343, Korea  
\*\*\*Department of Physics, Kookmin University, 861-1 Chongnang-dong, Songbuk-gu, Seoul 136-702, Korea  
(Received 21 October 2008; accepted 1 December 2008)

#### 요 약

CuFe<sub>2</sub>O<sub>4</sub>와 Fe<sub>3</sub>O<sub>4</sub>의 탄소 침적 및 환원 특성을 900 °C에서 TGA, XRD, SEM, TEM 등의 분석 및 반응 후 가스조 성분분석을 통하여 연구하였다. XRD 분석결과 환원된 Fe<sub>3</sub>O<sub>4</sub>는 Fe(iron)와 graphite(C) 그리고 Fe<sub>3</sub>C으로 구성되어 있는 것으로 나타났다. 반면에, 환원된 CuFe<sub>2</sub>O<sub>4</sub>에서는 graphite나 Fe<sub>3</sub>C가 나타나지 않았다. SEM을 이용하여 표면 구조를 관찰한 결과 환원된 Fe<sub>3</sub>O<sub>4</sub>의 표면이 탄소로 뒤덮여 있는 것을 확인할 수 있었다. 이와 달리 CuFe<sub>2</sub>O<sub>4</sub>에서는 CH<sub>4</sub> 전환율 및 환원속도가 높았고, 환원반응 후 탄소량 추정결과 Fe<sub>3</sub>O<sub>4</sub>에서보다 훨씬 낮게 나타났다. TEM 분석결과 Fe<sub>3</sub>O<sub>4</sub> 입자로부터 탄소가 판상구조의 형태로 성장한 것을 확인할 수 있었다.

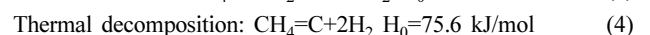
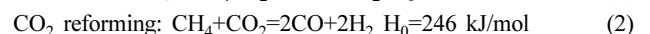
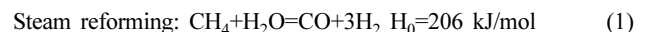
**Abstract** – Characteristics of reduction properties and carbon deposition of CuFe<sub>2</sub>O<sub>4</sub> and Fe<sub>3</sub>O<sub>4</sub> were investigated by using TGA, XRD, SEM, TEM and gas analysis at 900 °C. XRD analyses indicated that the reduced Fe<sub>3</sub>O<sub>4</sub> was composed of Fe, graphite and Fe<sub>3</sub>C phases. In contrast, the reduced CuFe<sub>2</sub>O<sub>4</sub> did not show the graphite or Fe<sub>3</sub>C phases. It was observed by SEM analysis that the surface of the Fe<sub>3</sub>O<sub>4</sub> was completely covered with carbon, after methane partial oxidation. From gas analysis, CuFe<sub>2</sub>O<sub>4</sub> showed much higher methane conversion and reduction kinetics as compared to the Fe<sub>3</sub>O<sub>4</sub> under the same reaction conditions and the estimated carbon deposition amounts on the reduced CuFe<sub>2</sub>O<sub>4</sub> was much lower than those on the reduced Fe<sub>3</sub>O<sub>4</sub> during the syngas production process. It was found by TEM that carbon on the reduced Fe<sub>3</sub>O<sub>4</sub> particles has a platelet shape.

Key words: Carbon Deposit, Partial Oxidation, Cu-ferrite, Methane, Syngas

#### 1. 서 론

석유 부존의 유한성과 지리적 편재로 인한 석유의 불안정한 공급과 고가화에 대처하기 위하여 청정하고 지속 가능한 수소 에너지 개발의 필요성이 제기되고 있다. 장기적으로는 물 전기분해, 원자력을 이용한 수소 제조가 주목 받고 있지만, 안정된 기술이 확보되기까지는 화석연료를 사용한 수소 제조법이 대용량 수소 제조법 중 가장 경제적인 것으로 분석되고 있다[1]. 천연가스로부터 수소 또는 합성가스를 생산하는 기술에는 수증기 개질공정, 이산화탄소

개질공정, 부분산화공정, 메탄의 직접 열분해 공정 등이 있다[2-7].

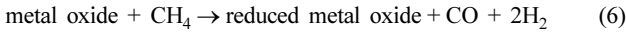


기존 천연가스로부터 생산하는 수소 및 합성가스는 단일 공정이며, 수증기 개질 공정의 경우 흡열반응이고 수증기를 생산하는 비용이 많이 든다. 또한 합성가스의 물 비가 1:3으로써 물비의 재조정이 불가피하다. CO<sub>2</sub> 개질반응도 흡열반응이고, 합성가스의 물비가 2:2로써 재조정이 필요하고 CO와 CO<sub>2</sub>의 분리 문제가 상존하고

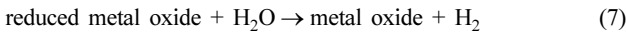
†To whom correspondence should be addressed.  
E-mail: kangyong@cnu.ac.kr

있다. 메탄의 직접 열분해의 경우 반응온도가 매우 높아 상용화가 다소 어렵다.

최근에 금속산화물의 산화 환원반응을 이용한 태양 메탄 개질 (Solar Methane Reforming)방식이 제안되었다[8, 9]. 태양 메탄 개질은 메탄개질단계와 물분해 단계로 구성되어 있다. 다음은 태양 메탄 개질 단계의 첫 번째 공정으로 syngas를 생산하는 과정을 나타낸 것이다.



메탄개질 단계에서는 금속산화물의 환원제로 메탄을 이용하여 진행하고 이 때 생성되는 CO와 H<sub>2</sub>의 비는 2로써, 메탄을 합성이나 Fischer-Tropsch공정 등에 바로 이용할 수 있는 장점이 있다. 부분산화공정과 달리 Air의 공급이 없어 질소산화물이 발생하지 않는다. 또한, syngas를 생산하는 공정에서 환원된 금속산화물은 물분해 단계를 통해 수소를 생산하게 되는데 그 과정은 다음과 같다.



이렇게 분리된 공정은 첫 번째 공정에서 CO 선택도가 높은 합성가스의 제조가 가능하다. 두 번째 공정에서의 수소생산은 탄소로부터 오염되지 않아 직접적으로 연료전지에 사용될 수 있다[10]. 그러나 실제적으로 1단계 흡열반응 공정에서 반응물의 조성을 포함하는 반응조건의 제어가 용이하지 않기 때문에 CO와 H<sub>2</sub> 뿐만 아니라 탄소 또한 생성된다. 결과적으로 이러한 탄소의 생성은 2단계 발열반응 공정에 영향을 미쳐 순수한 수소뿐만 아니라 CO와 CO<sub>2</sub> 가스가 함께 발생하게 된다. 또한 실제 환원된 Fe, Co, Ni는 탄소 침적을 일으키는 것으로 보고되었다[1,11]. Trimm은 Ni 촉매에 Pt, Ir, Sn, Pb, Ge, As, Sb, Bi, Ag, Cu의 첨가 영향을 조사한 실험에서, 이들 금속들이 Ni나 또는 Fe<sub>3</sub>C 형성을 억제함을 밝혔다[12]. 그리고 L.B.Avdeeva는 Ni-Cu-alumina 촉매를 이용한 메탄분해 실험에서 Cu의 양에 따라 탄소의 침적이 감소함을 밝혀냈다[13].

본 연구에서는 CuFe<sub>2</sub>O<sub>4</sub>를 이용하여 메탄 부분산화반응을 Fe<sub>3</sub>O<sub>4</sub>와 비교하여 수행하였다. 이들 산화물의 탄소 침적 및 환원 특성을 고찰하기 위하여 열중량분석을 이용하여 무게변화를 알아보았고, 고정층 반응기를 이용하여 CO선택도 및 카본 침적정도를 알아보았다. 표면 구조 및 금속과 카본의 형태 및 특성을 SEM과 TEM을 이용하여 분석하였다.

## 2. 실험

### 2-1. 시료 준비

CuFe<sub>2</sub>O<sub>4</sub>를 제조하기 위해서 공침법을 이용하였다. 출발물질로 JUNSEI사의 Fe(NO<sub>3</sub>)<sub>3</sub>·9H<sub>2</sub>O, Cu(NO<sub>3</sub>)<sub>2</sub>·3H<sub>2</sub>O를 사용하였다. Magnetite (Iron(II,III) oxide 98%)는 ALDRICH사에서 구입하여 사용하였다. 공침법에 의한 금속산화물 제조 과정을 Fig. 1에 나타내었다. 공침제로서 1.0 M-NH<sub>4</sub>OH 수용액을 사용하였으며, 65 °C에서 최종 pH 농도가 9.5가 되도록 서서히 적가 하였다. 만들어진 침전물은 70 °C에서 2시간 동안 aging 후 증류수와 아세트산을 이용하여 수회 세척 여과를 반복하였다. 수거한 침전물을 100 °C에서 24시간 동안 건조 하였다. 건조된 산화물은 800 °C Ar 분위기에서 2시간 동안 열처리 하였다. XRD(X-Ray Diffraction)를 이용하여 제조된 금속산화물의 결정구조를 분석하였다.

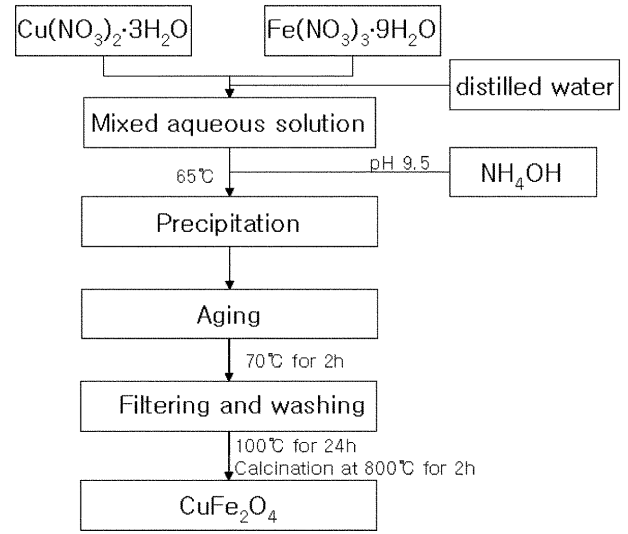


Fig. 1. Schematic diagram of the preparation of CuFe<sub>2</sub>O<sub>4</sub>.

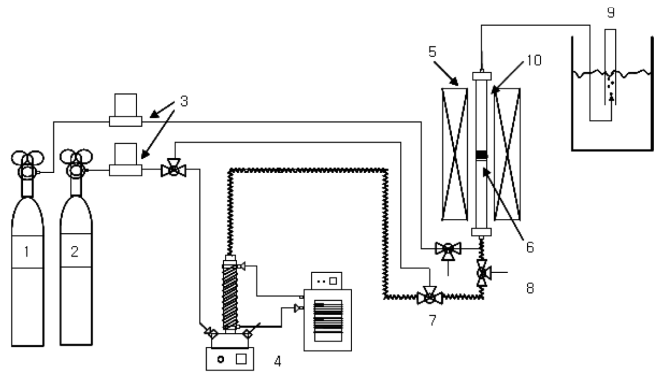


Fig. 2. Schematic diagram of the experimental apparatus.

- 1. CH<sub>4</sub> cylinder
- 2. Ar cylinder
- 3. MFC
- 4. Steam generator
- 5. Furnace
- 6. Metal oxide
- 7. 3way valve
- 8. Vent line
- 9. Bottle
- 10. Quartz tube

### 2-2. 환원산화 특성 평가

CuFe<sub>2</sub>O<sub>4</sub>와 Fe<sub>3</sub>O<sub>4</sub>의 산화 환원 특성을 평가하기 위하여 대기압 하 고정층 반응기를 이용하여 수행하였다. 매체 1 g을 석영관 반응기로 넣은 후, 고순도 Ar(99.999%) 기체를 10 ml/min으로 통과시키면서 반응온도까지 온도를 증가하였다.

온도가 900 °C에 도달한 후, CH<sub>4</sub>(51.56%)-Ar로 혼합된 혼합가스를 10 ml/min의 유속으로 공급하며 원하는 반응시간 동안 매체의 환원에 의한 합성가스 생성 반응을 진행하였다. 반응하는 동안의 기체들은 carboxen 1000 컬럼과 TCD가 장착된 GC(Donam, DS 6200)를 이용하여 6분 간격으로 전량 포집하여 물 조성 변화를 측정하였다.

합성가스 생성 반응이 끝난 후, 다시 Ar 기체를 흘려주며 물 분해 단계의 반응 온도인 800 °C까지 온도를 낮추었다. 온도가 일정하게 유지되면, H<sub>2</sub>O와 Ar 기체 혼합물을 Ar 기준 10 ml/min의 유속으로 공급하며 120분 동안 물 분해 반응을 진행하였다. 이때 H<sub>2</sub>O의 분압은 46.7 kPa로 일정하게 유지했으며, 매체의 환원 단계와 동일한 방법으로 반응 가스들의 물 조성 변화를 측정하였다.

### 2-3. 페라이트의 구조 분석

제조된 시료의 반응전과 반응 후의 결정 변화 분석을 위하여 Bruker사의 XRD를 사용하였으며 광원으로는 Cu-K $\alpha$  튜브를 사용하였다. 이 때 스캔 속도는 2°/min 이고 측정 범위는 10-80° 까지 측정하였다.

### 2-4. 페라이트의 표면 형태 분석

제조된 시료의 산화 환원 반응 후 표면의 형태 변화를 Hitachi사의 S-4700 FE-SEM(Scanning Electron Microscopy)을 사용하여 관찰하였고 EDS(Energy Dispersive Spectroscopy) 분석을 통하여 표면의 분포상태를 분석하였다.

또한 Ziess사의 EM 912 Omega TEM(Transmission Electron Microscopy)을 이용하여 금속 및 탄소의 형태를 분석하였으며 분석에 앞서 시료는 초음파를 이용하여 에탄올에 분산시킨 후 건조하였다.

## 3. 결과 및 고찰

Fig. 3은 CuFe<sub>2</sub>O<sub>4</sub>와 Fe<sub>3</sub>O<sub>4</sub>를 900 °C에서 등온환원반응을 실시한 결과를 나타낸 것이다. CuFe<sub>2</sub>O<sub>4</sub>의 경우 24.5 wt%가 감소하였고 40분 이내에 환원 반응이 일어났다. Fe<sub>3</sub>O<sub>4</sub>는 30 wt%가 감소하였고, 80분만에 환원된 이후 빠르게 무게가 증가하였다.

Fe<sub>3</sub>O<sub>4</sub>는 환원된 이후 CuFe<sub>2</sub>O<sub>4</sub>와는 달리 탄소가 침적되어 빠르게 무게가 증가된 것으로 판단된다. CuFe<sub>2</sub>O<sub>4</sub>의 경우 반응시간동안 무게가 거의 증가하지 않았는데 CuFe<sub>2</sub>O<sub>4</sub>의 Cu가 CH<sub>4</sub> 흡착을 거의 하지 않기 때문으로 사료된다.

Fig. 4는 Fe<sub>3</sub>O<sub>4</sub>와 CuFe<sub>2</sub>O<sub>4</sub>의 900 °C에서 환원반응 후 XRD를 통해 얻은 결과이다. CuFe<sub>2</sub>O<sub>4</sub>는 Cu, Fe 상으로 나타났고 Fe<sub>3</sub>O<sub>4</sub>의 경우 Fe, C, Fe<sub>3</sub>C 상으로 나타났다. 앞에서 Fe<sub>3</sub>O<sub>4</sub>의 무게증가는 탄화철의 생성과 탄소 침적에 의한 것임을 알 수 있다. 탄소 침적의 원인으로 메탄의 열분해 혹은 촉매분해에 의한 것으로 이외에도 일

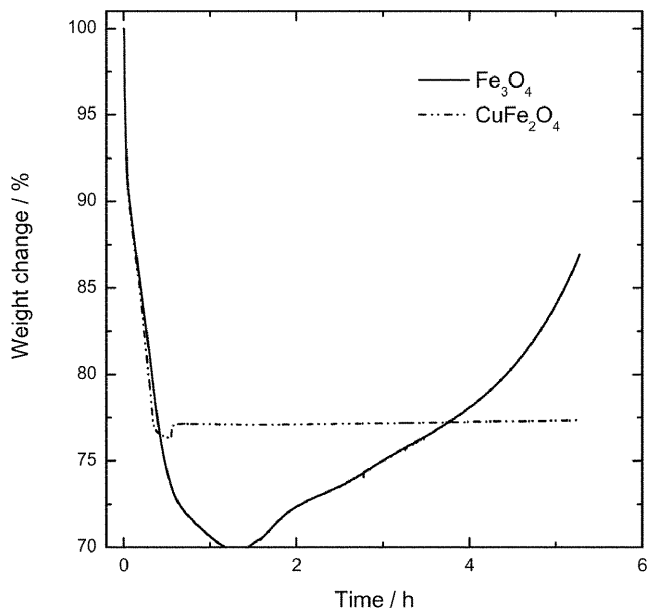


Fig. 3. Weight change of the Fe<sub>3</sub>O<sub>4</sub> and CuFe<sub>2</sub>O<sub>4</sub> during the syngas production step at 900 °C.

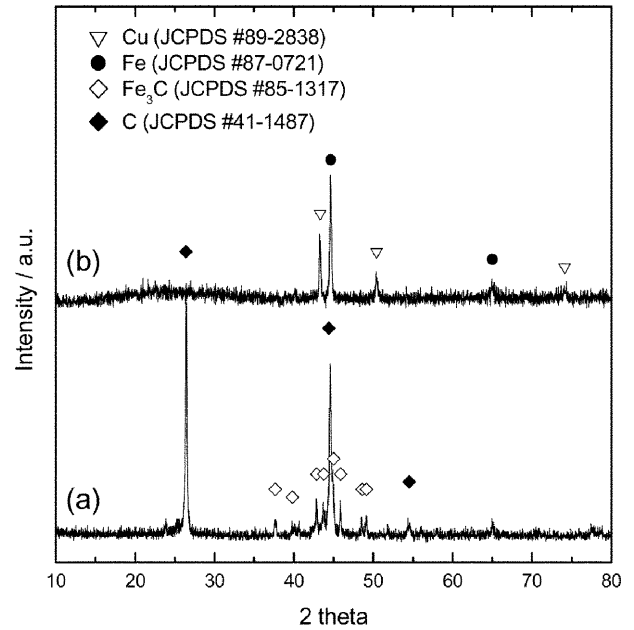


Fig. 4. XRD patterns of the (a) Fe<sub>3</sub>O<sub>4</sub> and (b) CuFe<sub>2</sub>O<sub>4</sub> after the syngas production step at 900 °C.

산화탄소 해리 반응인 Boudouard 반응에 의해서도 탄소의 침적이 발생된다[8]. CuFe<sub>2</sub>O<sub>4</sub>와 Fe<sub>3</sub>O<sub>4</sub>가 환원된 이후 메탈상이 나타나는 Fe(110)의 회절선은 CuFe<sub>2</sub>O<sub>4</sub>는 44.62° 이고 Fe<sub>3</sub>O<sub>4</sub>는 44.58°로 나타나 Fe<sub>3</sub>O<sub>4</sub>가 CuFe<sub>2</sub>O<sub>4</sub>에 비하여 더 작은 각도로 이동했다. 기존 문헌의 결과[13]에 따르면, 메탄 분해과정 중 Fe 입자 안으로 탄소 원자가 용해되어 녹아 들어가는 것으로 보고되고 있으며 탄소의 원자 반지름은 0.77 Å 이고 Fe 격자의 빈공간의 반경 0.52 Å 보다 더 크므로 탄소의 혼입은 격자상수를 증가시키고 이로 인해 2 $\theta$ 값이 감소됨으로서 이상과 같은 결과가 발생한 것으로 사료된다.

Fig. 5(a, b)는 CuFe<sub>2</sub>O<sub>4</sub>와 Fe<sub>3</sub>O<sub>4</sub>의 실험전 SEM 이미지를 Fig. 5(c, d)는 메탄으로 환원반응한 후의 SEM 이미지를 나타낸 것이다. 반응전과 비교하여 반응후 시료는 소결로 인하여 입자가 응집된 것

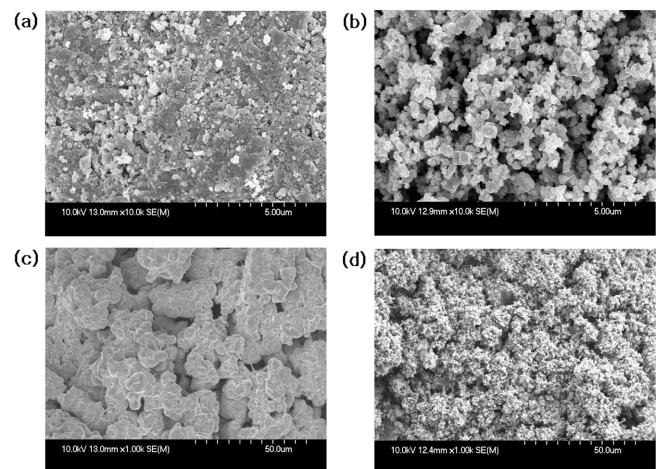
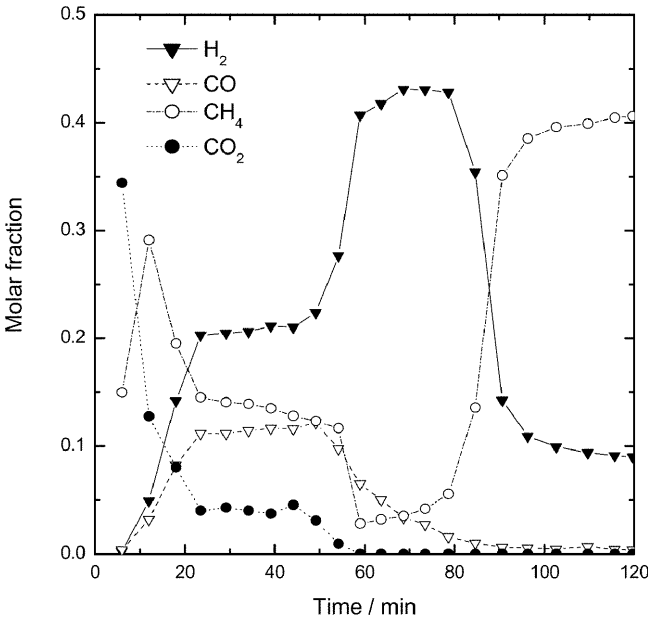


Fig. 5. SEM photographs of CuFe<sub>2</sub>O<sub>4</sub> and Fe<sub>3</sub>O<sub>4</sub>. (a) CuFe<sub>2</sub>O<sub>4</sub>( $\times 10k$ ) before the syngas production step, (b) Fe<sub>3</sub>O<sub>4</sub>( $\times 10k$ ) before the syngas production step, (c) CuFe<sub>2</sub>O<sub>4</sub>( $\times 1k$ ) after the syngas production step at 900 °C, (d) Fe<sub>3</sub>O<sub>4</sub>( $\times 1k$ ) after the syngas production step at 900 °C.

**Table 1. Surface composition for syngas production step using the CuFe<sub>2</sub>O<sub>4</sub> and Fe<sub>3</sub>O<sub>4</sub> mediums**

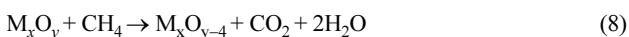
| Element | Fe <sub>3</sub> O <sub>4</sub> (weight%) | CuFe <sub>2</sub> O <sub>4</sub> (weight%) |
|---------|--|--|
| C       | 85.13                                    | 2.23                                       |
| O       |  | 23.56                                      |
| Fe      | 14.87                                    | 58.14                                      |
| Cu      |  | 16.06                                      |
| Totals  | 100.00                                   | 100.00                                     |



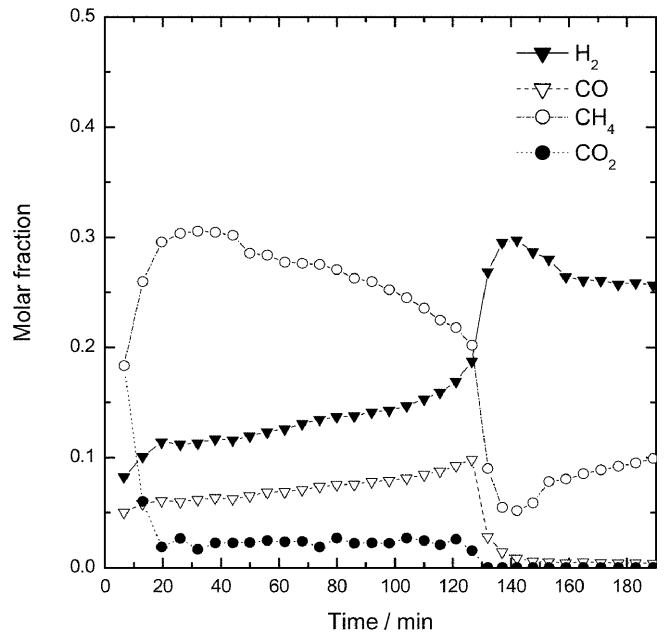
**Fig. 6. Variations of evolved gaseous amounts after syngas production step using CuFe<sub>2</sub>O<sub>4</sub> (sample: 1 g, flow rate: 10 ml/min, reaction temp.: 900 °C).**

을 확인 할 수 있다. 또한 Fe<sub>3</sub>O<sub>4</sub>의 경우 표면에 탄소가 형성되어 침적된 것을 볼 수 있다. EDS 분석결과는 시료표면의 상대적인 조성을 나타낸 결과로서 Table 1에 분석결과를 나타냈다. 탄소의 비율이 Fe<sub>3</sub>O<sub>4</sub>의 경우 85.13 wt% 이고, CuFe<sub>2</sub>O<sub>4</sub> 2.23 wt%로 나타나 Fe<sub>3</sub>O<sub>4</sub>에 비하여 CuFe<sub>2</sub>O<sub>4</sub>의 탄소비율이 현저히 낮은 것으로 나타났다.

Fig. 6은 CuFe<sub>2</sub>O<sub>4</sub>를 이용한 합성가스 생성 단계에서의 기체의 몰 조성 변화를 관찰한 것이다. 반응은 51.56%의 CH<sub>4</sub>을 10 ml/min로 공급해 주며 온도는 900 °C의 온도로 고정하고 120분 동안 진행하였다. CH<sub>4</sub>의 몰 조성은 초기에 빠르게 감소한 다음 50분까지 일정하게 유지하였고, 이후 빠르게 감소하였다가 다시 증가하는 경향을 나타내고 있다. 또 초기 15분까지 CO<sub>2</sub>가 주생성물로 관찰되고 있다. 이것은 반응초기에 반응활성이 매우 큰 CuFe<sub>2</sub>O<sub>4</sub>가 CH<sub>4</sub>와의 완전산화반응에 의해 다음의 식과 같이 CO<sub>2</sub>와 H<sub>2</sub>O를 생성한다는 것을 의미한다.



20-50분 구간에서는 CO<sub>2</sub>의 생성이 감소하고, H<sub>2</sub>/CO의 비율이 2.0정도의 조성을 보이고 있으며, 50~90분 구간에서는 수소가 급격히 증가하고 메탄이 감소하는데 이는 금속으로 환원된 Fe가 촉매 작용을 하여 메탄이 직접 분해되어 graphite와 수소로 나타난 결과로 판단된다. 이후 메탄이 급격히 증가하고 수소는 감소하는데 이는 두 가지 측면으로 해석이 가능하다. 첫째는 메탄 분해에 의해 생



**Fig. 7. Variations of evolved gaseous amounts after syngas production step using Fe<sub>3</sub>O<sub>4</sub> (sample: 1 g, flow rate: 10 ml/min, reaction temp.: 900 °C).**

기는 탄소가 금속의 Fe site를 막고 따라서 메탄의 촉매분해 활성을 저하시키기 때문일 수 있으며, 두 번째 가능성은 Cu에 의한 수소와 침전된 탄소의 methanation에 의한 메탄의 증가로 볼 수 있다. 하지만 지속적인 methanation이 일어나려면 수소의 지속적인 공급이 필요하므로 첫 번째 탄소 침전에 의한 Fe의 활성점 감소가 비중이 큰 것으로 판단된다.

Fig. 7은 Fe<sub>3</sub>O<sub>4</sub>를 이용한 합성가스 생성 단계에서의 기체의 몰 조성 변화를 관찰한 것이다. 반응은 51.56%의 CH<sub>4</sub>을 10 ml/min로 공급해 주며 온도는 900 °C의 온도로 고정하고 190분 동안 진행하였다. CH<sub>4</sub>의 몰 조성은 초기 증가한 이후 서서히 감소하다가 급격히 감소하는 경향을 나타내고 있다. 초기 20분까지 CO<sub>2</sub>가 주생성물로 앞의 결과와 같이 Fe<sub>3</sub>O<sub>4</sub>가 CH<sub>4</sub>와의 완전산화반응에 의해 CO<sub>2</sub>와 H<sub>2</sub>O를 생성되는 것으로 판단된다. CO는 H<sub>2</sub> 분율이 증가함에 따라 같이 증가하고 120분 이후 급격히 감소하였다. 120분 이후 CH<sub>4</sub> 열분해에 의해 H<sub>2</sub>의 분율은 급격히 증가하고 CH<sub>4</sub> 분율은 급속히 감소하는데 CuFe<sub>2</sub>O<sub>4</sub>와는 다르게 Fe<sub>3</sub>C 및 graphite의 생성으로 반응할 수 있는 site를 증가시키게 되고, 지속적인 분해가 나타나는 것으로 판단된다.

그러나 CH<sub>4</sub>가 부분산화하는 동안의 탄소의 분율은 CuFe<sub>2</sub>O<sub>4</sub>와 Fe<sub>3</sub>O<sub>4</sub> 두 매체 모두 매우 낮은 것으로 계산되어졌다. 이는 환원과정에서 공여된 산소가 20% 이상 존재시 온도나 스팀의 공급여부와 상관없이 탄소의 생성이 발생하지 않는다는 결과와 일치된다 [14]. 합성가스 생성단계에서 탄소 침적이 일어나기 전의 가스의 수율 및 선택도를 Table 2에 나타냈다.

환원된 CuFe<sub>2</sub>O<sub>4</sub>와 Fe<sub>3</sub>O<sub>4</sub>를 이용한 물 분해 수소 제조 반응은 탄소 침적이 관찰되기 직전보다 5분 전으로 결정하였고, 800 °C의 온도에서 120분 동안 수행하였다. 물 분해 수소제조 반응 결과 CuFe<sub>2</sub>O<sub>4</sub>와 Fe<sub>3</sub>O<sub>4</sub>의 수소발생량은 각각 10.5 mmol/g, 11.4 mmol/g으로 계산되었다.

**Table 2. Gas amounts and gas selectivity for syngas production step using the CuFe<sub>2</sub>O<sub>4</sub> and Fe<sub>3</sub>O<sub>4</sub> mediums**

| Mediums                          | Reaction time (min) | Total gas evolution (mmol/g) |     |                 |      | Selectivity (%)  |      |                 |     | H <sub>2</sub> /CO |
|----------------------------------|---------------------|------------------------------|-----|-----------------|------|------------------|------|-----------------|-----|--------------------|
|                                  |                     | H <sub>2</sub>               | CO  | CO <sub>2</sub> | C    | H <sub>2</sub> O | CO   | CO <sub>2</sub> | C   |                    |
| CuFe <sub>2</sub> O <sub>4</sub> | 50                  | 5.8                          | 4.6 | 2.4             | 0.05 | 5.8              | 65.2 | 34.0            | 0.8 | 1.91               |
| Fe <sub>3</sub> O <sub>4</sub>   | 120                 | 9.6                          | 5.3 | 2.4             | 0.1  | 6.0              | 67.9 | 30.8            | 1.3 | 2.20               |

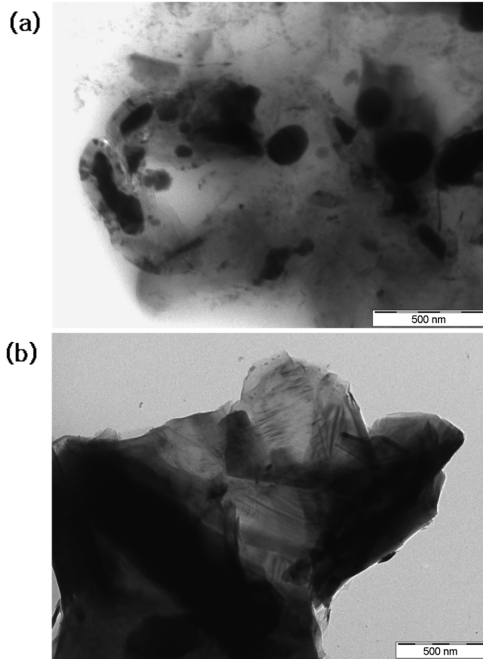
**Fig. 8. TEM micrographs of the (a) CuFe<sub>2</sub>O<sub>4</sub> and (b) Fe<sub>3</sub>O<sub>4</sub> after the syngas production step at 900 °C.**

Fig. 8은 CuFe<sub>2</sub>O<sub>4</sub>와 Fe<sub>3</sub>O<sub>4</sub>의 CH<sub>4</sub> 부분산화 이후 TEM 이미지를 나타낸 것이다. CuFe<sub>2</sub>O<sub>4</sub>의 경우 환원되어 금속이된 Fe가 촉매 작용을 하여 탄소의 생성을 촉진시키게 된다. 생성된 탄소는 금속 산화물을 encapsulating 하거나 금속 입자로부터 카본이 성장하여 whisker의 형태로 생성되어지며[1, 15-16], 본 연구에서 CuFe<sub>2</sub>O<sub>4</sub>의 일부 입자 주변에 탄소에 의해 감싸여져 있는 것을 확인할 수 있었다. 금속표면에 형성된 탄소물질이 어떠한 이유로 촉매입자의 전면에 carbon layer를 형성하게 되면 더 이상의 가스 흡착이 어려워 탄소의 성장이 멈추게 된다[17]. Fe<sub>3</sub>O<sub>4</sub>의 경우 CuFe<sub>2</sub>O<sub>4</sub>의 입자에 비해 입자가 크다는 것을 알 수 있다. 입자 크기가 증가된 Fe 입자로부터 탄소가 필라멘트의 형태가 아닌 판상의 형태로 형성되었는데, 이는 Baker[18]가 902~1,102 °C에서 메탄의 열분해에 의해 금속표면에서 graphite 형태로 성장한다는 결과와 일치한다.

#### 4. 결 론

Fe<sub>3</sub>O<sub>4</sub>와 CuFe<sub>2</sub>O<sub>4</sub>에 의한 메탄의 부분산화로 900 °C 온도에서 등온환원실험을 수행한 결과 다음과 같은 결론을 얻었다.

900 °C에서 Fe<sub>3</sub>O<sub>4</sub>의 경우 환원되어 Fe가 생성된 이후에는 탄소가 침적되어 Fe<sub>3</sub>C와 graphite가 생성하였다. CuFe<sub>2</sub>O<sub>4</sub>의 경우 XRD 상에서 Cu, Fe로 전환되었음을 확인하였으나 탄소 침적은 확인할 수 없었다.

SEM 이미지 확인 결과 Fe<sub>3</sub>O<sub>4</sub> 표면에 탄소의 형성이 된 것으로 확인되었으며 EDS 분석결과 탄소비율이 CuFe<sub>2</sub>O<sub>4</sub>에 비하여 Fe<sub>3</sub>O<sub>4</sub>

가 월등히 높은 것으로 나타났다.

고정층 반응기 실험에서 CuFe<sub>2</sub>O<sub>4</sub>의 메탄전환율이 Fe<sub>3</sub>O<sub>4</sub>에 비해 높게 나타났고 환원속도에서도 높게 나타났다. 금속으로 환원반응이 진행되는 동안 탄소 비율은 CuFe<sub>2</sub>O<sub>4</sub>나 Fe<sub>3</sub>O<sub>4</sub> 모두 낮게 계산되었다.

TEM 결과에서 반응시간동안 Fe<sub>3</sub>O<sub>4</sub>는 입자의 크기가 증가하고 증가된 입자로부터 판상형의 탄소가 생성되었으나 CuFe<sub>2</sub>O<sub>4</sub>의 경우 carbon layer가 형성되어 더 이상의 가스 흡착이 어려워짐에 따라 탄소가 더 이상 성장하지는 않는 것으로 판단된다.

#### 감 사

이 연구는 과학기술부의 지원으로 수행하는 21세기 프론티어 연구 개발 사업(수소 에너지 사업단)의 일환으로 수행되었습니다.

#### 참고문헌

- Bak, Y. C. and Cho, K. J., "Status for the Technology of Hydrogen Production from Natural Gas," *Korean Chem. Eng. Res.*, **43**, 344-351(2005).
- Pena, M. A., Gomez, J. P. and Fierro, J. L. G., "New Catalytic Routes for Syngas and Hydrogen Production," *Appl. catal. A: Gen.*, **144**, 7-57(1996).
- Craciun, R., Shereck, B. and Gorte, R. J., "Kinetic Studies of Methane Steam Reforming on Ceria-supported Pd," *Catal. Lett.*, **51**, 149-153(1998).
- Luo, J. Z., Yu, Z. L., Ng, C. F. and Au, C. T., "CO<sub>2</sub>/CH<sub>4</sub> Reforming over Ni-La<sub>2</sub>O<sub>3</sub>/5A: An Investigation on Carbon Deposition and Reaction Steps," *J. Catal.*, **194**(2), 198-210(2000).
- Inui, T., Ichino, K., Matsuoka, I., Takeguchi, T., Iwamoto, S., Pu, S. B. and Nishimoto, S. I., "Ultra-rapid Synthesis of Syngas by the Catalytic Reforming of Methane Enhanced by In-situ Heat Supply Through Combustion," *Korean J. Chem. Eng.*, **14**(6), 441-444(1997).
- Kim, S. B., Shin, K. S., Park, E. S., Kwak, Y. C., Cheon, H. J. and Hahm, H. S., "Partial Oxidation of Methane of Synthesis Gas over Ni Catalysts," *HWAHAK KONGHAK*, **41**, 20-25(2003).
- Onstot, W. J., Minet, R. G. and Tsotsis, T. T., "Design Aspects of Membrane Reactors for Dry Reforming of Methane for the Production of Hydrogen," *Ind. Eng. Chem. Res.*, **40**(1), 242-251(2001).
- Steinfeld, A., Kuhn, P., Reller, A., Palumbo, R., Murray, J. and Tamura, Y., "Solar-processed Metals as Clean Energy Carriers and Water-splitters," *Int. J. Hydrogen Energy*, **23**, 767-774(1998).
- Steinfeld, A., Brack, M., Meier, A., Weidenkaff, A. and Willemin, D., "A Solar Chemical Reactor for Co-production Zinc and Synthesis Gas," *Energy*, **23**, 803-814(1998).
- Kodama, T., Shimizu, T., Satoh, T., Nakata, M. and Shimizu, K. I., "Stepwise Production of Co-rich Syngas and Hydrogen via Solar Methane Reforming by using a Ni(II)-ferrite REDOX Sys-

- tem," *Solar Energy*, **73**, 363-374(2002).
11. Kodama, T., Ohtake, H., Matsumoto, S., Aoki, A., Shimizu, T. and Kitayama, Y., "Thermochemical Methane Reforming using a Reactive  $WO_3/W$  Redox System," *Energy*, **25**, 411-425(2004).
  12. Trimm, D. L., "Catalysts for the Control of Coking during Steam Reforming," *Catal. Today*, **49**, 3-10(1999).
  13. Avdeeva, L. B., Goncharova, O. V., Kochubey, D. I., Zaikovskii, V. I., Plyasova, L. M., Novgorodov, B. N. and Shaikhutdinov, Sh. K., "Coprecipitated Ni-alumina and Ni-Cu-alumina Catalysts of Methane Decomposition and Carbon Deposition," *Appl. Catal. A*, **141**, 117-129(1996).
  14. Cho, P., Mattisson, T. and Lyngfelt, A., "Carbon Formation on Nickel and Iron Oxide-containing Oxygen Carriers for Chemical-looping Combustion," *Ind. Eng. Chem. Res.*, **44**, 668-676(2005).
  15. Li, Y., Chen, J., Chang, L. and Qin, Y., "The Doping Effect of Copper on the Catalytic Growth of Carbon Fibers from Methane over a  $Ni/Al_2O_3$  Catalyst Prepared from Feitknecht Compound Precursor," *J. Catal.*, **178**, 76-83(1998).
  16. Li, J., Lu, G., Li, K. and Wang, W., "Active  $Nb_2O_5$ -supported Nickel and Nickel-Copper Catalysts for Methane Decomposition to Hydrogen and Filamentous Carbon," *Journal of Molecular Catalysis A*, **221**, 105-112(2004).
  17. Kim, M. S. and Kim, D. Y., "Application of Catalytically Grown Carbon Nanofiber in Double Layer Capacitor (I)," *HWAHAK KONG-HAK*, **36**, 34-44(1998).
  18. Baker, R. T. K., Barber, M. A., Harris, P. S. and Feates, F. S., Waite, R. J., "Nucleation and Growth of Carbon Deposits from the Nickel Catalyzed Decomposition of Acetylene," *J. Catal.*, **26**, 51-62(1972).